

## 淡水汲上げによる淡塩境界面の上昇について

九州大学工学部

上田年比古

九州産業大学工学部

○崎山 正常

1. まえがき 海岸付近の地盤に滞留している淡水を溝あるいは井戸などによって取水するととき地盤深部に存在する塩水が淡水中に混入してきて困ることがしばしばある。これは上層淡水の取水によって淡水に流れが生じ、あるいは淡水位の低下などで淡塩境界面の圧力が下りそのため Ghyben-Herzberg の法則にしたがつて淡塩境界面がもり上ってくことに起因している。取水において許され状態、すなわち下層塩水が取水中に混入しない条件のもとで、できるだけ多くの取水量を確保しようととする流れの場は図-1に示すように淡塩境界面の最も高い点(B)が溝あるいは井戸の底と一致した状態である。本報は取水溝の外の浸透流が取水溝の中心面に対して二次元の対称流である、かつ地面が等ポテンシャル面である場合について、上述の状態での流れの場を解析した結果を砂模型によつて実験し、検討を加えたものである。

2. 解析 図-1に示すように上層淡水の単位重量を $\gamma$ 、下層塩水のそれを $\gamma'$ として、塩水は流れていらないとする。溝の側壁は不透水性の矢板壁でありその厚さは無視できるものとする。このとき図-1のように座標軸をえらび、 $x$ 、 $y$ の負方向の流速を $u$ 、 $v$ とし、速度ポテンシャルを $\psi$ 、流れの関数を $\chi$ とすれば二次元ポテンシャル流の基礎理論から

$$u = \frac{\partial \Phi}{\partial x} = \frac{\partial \psi}{\partial y}, \quad v = \frac{\partial \Phi}{\partial y} = -\frac{\partial \psi}{\partial x} \quad \dots (1)$$

次に、流れの場の任意実における全水頭を  $X$  軸を基準にとつて表し、その場における圧力を  $\gamma$  とするれば

$$h = \frac{p}{\gamma} + y \quad \dots(2)$$

一方、透水係数を戻すと Darcy の法則は

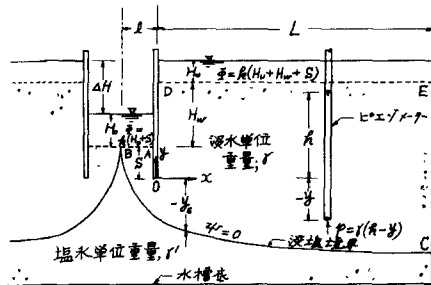
$$U = k \frac{\partial h}{\partial x} \quad , \quad V = k \frac{\partial h}{\partial y} \quad \dots (3)$$

であり、したがつて(1)～(3)式より

$$\Phi = k \left( \frac{p}{r} + y \right) \quad \dots (4)$$

がえられる。塗墻境界面すなゆ

図-1. 滲れの場



$$\therefore \Phi_s = R \{ H_p + (1+\varepsilon) S \} - R' y_s \quad \dots (6)$$

式(6)を導入して、  
 $\varepsilon = (\gamma' - \gamma)/\gamma$ ,  $\beta' = \beta/\varepsilon$  とおき、  
 $\gamma'$  が零となるときの  $\beta'$  の値を  $\beta_{\text{crit}}$  とすれば、  
 $\beta' = \beta_{\text{crit}}$  のとき  $\varepsilon = \varepsilon_{\text{crit}}$  である。

$$\Omega_1 = \Phi + k'y, \quad \Omega_2 = \Psi - k'x \quad \} \quad \dots (8)$$

$$\Omega = \Omega_1 + i\Omega_2 = w - ik'z$$

こに、 $w$ は複素ボテンシヤル

$$w = \Phi + i\psi \quad \dots \quad (9)$$

#### 「あり」又は溢出の場の複素表示

$$\tilde{z} = \tilde{x} + i\tilde{y} \quad \dots \quad (12)$$

がえられる。淡塩界面、すなわち図-1のCB線である。これらについて図-1の流れの場の境界上における諸種の物理量に添字Sを付してあらわす条件を整理すると表-1がえられる。これによると、まず圧力は

$$P = \chi H + \chi' (-\gamma + S) \quad \dots (5)$$

た  $L = \infty$  の場合に対しては図-4(a)および図-5(a)

のようになる。この2つの場合の  $W$  平面と  $\Omega$  平面を関係づける  $t = \xi + i\eta$  (平面を図-2~5の(b)のようにえらべば Schwarz-Christoffel の定理によって写像関数は

$$t = \xi + i\eta \quad \dots (11)$$

を媒介変数として

$$W = -N \int \frac{dt}{\sqrt{(-b-t)\sqrt{(-a-t)\sqrt{(1-t)}}}} \quad (0 < L < \infty) \quad \dots (12)$$

$$\Omega = -M \int \frac{dt}{\sqrt{(-c-t)\sqrt{(-a-t)\sqrt{(1-t)}}}} \quad (L \neq \infty) \quad \dots (13)$$

$$\Omega = \lambda M \int \frac{dt}{\sqrt{(-a-t)\sqrt{(1-t)}}} \quad (L = \infty) \quad \dots (14)$$

なる積分であらわされる。ここに  $N$ ,  $M$ ,  $\lambda$ ,  $a$ ,  $b$  および  $C$  などは定数は  $W$  および  $\Omega$  平面の境界条件によって決定される定数である。さて、各場合の  $t$  平面の実軸は  $W$  および  $\Omega$  平面の境界に対応しているので(12), (13) および(14) 式について  $t$  の実軸について行なった解析結果によってまず未知定数の決定を行なう。各境界値のうち取水量 漏洩界面などの主要な境界の境界値を検討しよう。

## 2.1 未知定数の決定

$L$  が有限の場合 この場合、未知定数の決定手順を計算に便利なように整頓すると次のようになる。

$$\frac{C}{b} = \lambda = \frac{K^2}{m^2} \left[ \left( 1 + \varepsilon \frac{H_w}{AH} \right) \frac{K(K)}{K(m)} \right]^2 \quad \dots (15)$$

ここに  $K(K)$  の表示は  $K$  を母数とする第一種完全楕円積分である。(以下のあらわし方も同様である。)

(15) 式で  $\varepsilon H_w/AH$  を与え  $K^2$  および  $m^2$  を仮定すると式が決まる。仮定にあたっては  $0 < m^2 < K^2 < 1.0$  なる条件が付加される。次に

$$\left. \begin{aligned} a &= \frac{K^2 m^2 (\lambda - 1)}{\lambda m^2 - K^2} - 1 \\ b &= \frac{K^2 - m^2}{\lambda m^2 - K^2}, \quad c = \lambda b \end{aligned} \right\} \quad \dots (16)$$

より  $a$ ,  $b$  および  $c$  が決まり

表-1. 境界条件

\* お付したもののは const.

境 界 界 界	$Z = \xi + i\eta$	$W = \xi + i\eta$	$\Omega = \Omega_1 + i\Omega_2$
X	$\xi$	$\eta$	$\Omega_1 = \xi + i\eta$ , $\Omega_2 = 0$
CB	$x$	$y$	$* 0$ , $\frac{1}{2} \ln \left( H_w + (1+\varepsilon)S \right) - \frac{1}{2} K^2 x$
BA	$x$	$* S$	$\frac{1}{2} \ln \left( H_w + S \right) - \frac{1}{2} K^2$
AOD	$* 0$	$y$	$* 0$ , $\Omega_2$
DE	$x$	$* S + \frac{1}{2} \ln \left( H_w + H_w + S \right)$	$\frac{1}{2} K^2$ , $\frac{1}{2} \ln \left( H_w + (1+\varepsilon)(H_w + S) \right) - \Omega_2$
EC	$* L$	$y$	$* 0$ , $\Omega_2$ , $* -KL$

$0 < L \neq \infty$  の場合

図-2(a)  $W = \xi + i\eta$

$$W = \xi + i\eta$$

図-3(a)  $\Omega = \Omega_1 + i\Omega_2$

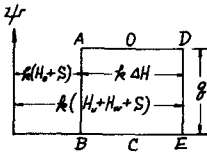


図-2(b)

$$W \text{ 平面に対する } t = \xi + i\eta$$

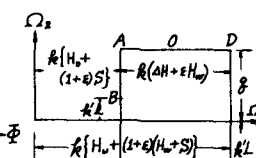
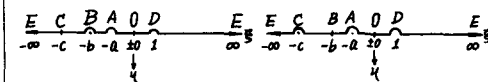


図-3(b)

$$\Omega \text{ 平面に対する } t = \xi + i\eta$$



$L = \infty$  の場合

図-4(a)  $W = \xi + i\eta$

$$W = \xi + i\eta$$

図-5(a)  $\Omega = \Omega_1 + i\Omega_2$

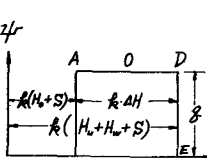


図-4(b)

$$W \text{ 平面に対する } t = \xi + i\eta$$

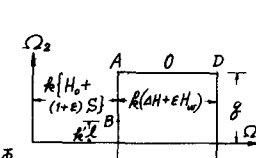
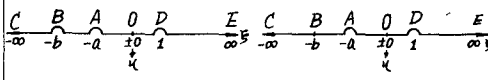


図-5(b)

$$\Omega \text{ 平面に対する } t = \xi + i\eta$$



$$c = 1/\varepsilon$$

$$m^2 = 1 - m^2, \quad K'^2 = 1 - K^2$$

$$\dots (17)$$

$$e \frac{L}{AH} = \left( 1 + \varepsilon \frac{H_w}{AH} \right) \frac{K(m')}{K(m)} - \frac{K(K')}{K(K)}$$

$$\left. \begin{aligned} \sin \theta_0 &= \frac{K'}{m'} \\ \varepsilon \frac{\ell}{\Delta H} &= \frac{K(K)}{K(K)} - \left(1 + \varepsilon \frac{H_w}{\Delta H}\right) \frac{F(\theta_0, m')}{K(m)} \end{aligned} \right\} \quad \dots (18)$$

ここに、 $F(\theta_0, m')$  の表示は  $m'$  を母数とする第一種積分積分である。(以下にあらわし方も同様である。)

$$\left. \begin{aligned} \sin \theta_0 &= \sqrt{\frac{a(b+1)}{b(a+1)}} , \quad \sin \theta_0 = \sqrt{\frac{a(c+1)}{c(a+1)}} \\ \varepsilon \frac{S}{\Delta H} &= \frac{F(\theta_0, K)}{K(K)} - \left(1 + \varepsilon \frac{H_w}{\Delta H}\right) \frac{F(\theta_0, m)}{K(m)} \end{aligned} \right\} \quad \dots (19)$$

$$\left. \begin{aligned} V &= \sqrt{I+b}/2 , \quad \mu = \sqrt{I+c}/2 \\ N &= R \cdot \Delta H \frac{V}{K(K)} , \quad M_i = R \cdot \Delta H \left(1 + \varepsilon \frac{H_w}{\Delta H}\right) \frac{\mu}{K(m)} \end{aligned} \right\} \quad \dots (20)$$

となつて、与えられた  $\varepsilon H_w / \Delta H$  と仮定の  $K^2$  および  $m^2$  に対して断面形状が決まり、 $K^2$  および  $m^2$  を  $\rightarrow$  から  $\rightarrow$  に変えて計算を行えばそれぞれの組合せに応じて所要の値が求まる。

$L = \infty$  の場合 この場合について未知定数の決定手順を計算に便利なように整頓すると

$$b = 1 / \left[ \left\{ \frac{2}{\pi} \left( 1 + \varepsilon \frac{H_w}{\Delta H} \right) K(K) \right\}^2 - 1 \right] \quad \dots (21)$$

$$a = K^2(1+b) - 1$$

まず  $\varepsilon H_w / \Delta H$  を与え  $K^2$  を仮定すれば上の第一式より  $b$  が決まり、次に式より  $a$  が決まる。そうすると

$$\varepsilon \frac{\ell}{\Delta H} = \frac{K(K)}{K(K)} - \frac{2}{\pi} \left( 1 + \varepsilon \frac{H_w}{\Delta H} \right) \tanh^{-1}(K) \quad \dots (22)$$

$$\varepsilon \frac{S}{\Delta H} = \frac{F(\theta_0, K)}{K(K)} - \frac{2}{\pi} \left( 1 + \varepsilon \frac{H_w}{\Delta H} \right) \tan^{-1}(\sqrt{a}) \quad \dots (23)$$

ここに  $\theta_0$  には (19) 式の第一式を適用する。また  $N$ ,  $V$  については (20) 式と同じ式がえられるが  $M_i$  については

$$M_i = \frac{1}{\pi} \cdot R \Delta H \left( 1 + \varepsilon \frac{H_w}{\Delta H} \right) \quad \dots (24)$$

となつて、与えられた  $\varepsilon H_w / \Delta H$  と仮定の  $K^2$  に対して断面形状が決まり、 $K^2$  を  $\rightarrow$  から  $\rightarrow$  に変えて計算を行えば、それぞれの  $K^2$  に対して所要の値が求まる。このようにして未知定数が決定されると、各境界

値のうち主要な境界値であるところの溝の半位長さ  $\ell$  の取水量  $S$ 、および淡塩境界の曲線は次のようにして計算される。

## 2.2 取水量と淡塩境界の式

$L$  が有限の場合 未知定数の決定にあげた (20) 式の関係を用いて無次元化された取水量および淡塩境界の曲線式は次のようになる。すなはち

$$\frac{\delta}{R \cdot \Delta H} = \frac{K(K)}{K(K)} \quad \dots (25)$$

$$-C \leq t \leq -b \quad \text{で}$$

$$\sin \theta = \frac{(c+t)(-a-t)}{\sqrt{(c-a)(1-t)}} , \quad \sin \theta = \frac{-b-t}{\sqrt{a-t}} \quad \dots (26)$$

$$\varepsilon \frac{x_s}{\Delta H} = \left( 1 + \varepsilon \frac{H_w}{\Delta H} \right) \frac{F(\theta, m')}{K(m)} - \frac{K(K)}{K(K)} \quad \dots (26)$$

$$\varepsilon \frac{y_s}{\Delta H} = \varepsilon \frac{S}{\Delta H} - \frac{F(\theta, K)}{K(K)}$$

$L = \infty$  の場合 (20) および (24) 式の関係を用いて、上と同様に取水量と淡塩境界の曲線式の無次元化を行えば取水量については (25) 式と同じ式となる。淡塩境界の曲線式は

$$-\infty \leq t \leq -b \quad \text{で}$$

$$\delta = \sqrt{\frac{-a-t}{1-t}} , \quad \sin \theta = \sqrt{\frac{-b-t}{-a-t}}$$

$$\varepsilon \frac{x_s}{\Delta H} = \frac{2}{\pi} \left( 1 + \varepsilon \frac{H_w}{\Delta H} \right) \tanh^{-1}(\delta) - \frac{K(K)}{K(K)} \quad \dots (27)$$

$$\varepsilon \frac{y_s}{\Delta H} = \varepsilon \frac{S}{\Delta H} - \frac{F(\theta, K)}{K(K)}$$

となる。  $t$  に上述の範囲で  $\rightarrow$  から  $\rightarrow$  の値を適用すれば、それぞれの  $t$  に対して  $(x_s, y_s)$  の座標群がえられ、これらを連ねて淡塩境界面の形状を知ることができる。

他の境界上の境界値も未知定数決定の段階で、もちろん必要となるところであるが、紙数の都合でここでは未知定数の決定条件と取水量および淡塩境界の曲線式を計算に都合のよいように整頓してあげたにとどめた。

3. 数値計算および実験 本解析の結果を用いて  $\epsilon S/AH = 0$  の場合について  $\epsilon H_w/AH$  に数種の値を与えて行つた数値計算の結果を図-6に示している。計算にあたっては九州産業大学電子計算機OKITAC 5090によってオーディオ種積円積分の関数表を作成し、既往の関数表<sup>2)</sup>の不足を補つたものを使用した。次に、実験では大きさ  $1m \times 2m \times 0.15m$  の両面ガラス張り水槽を用い、水槽底部に理論から予想されるだけの塩水(過マンガン酸カリウムで着色したもの)で砂の空隙を完全に飽和させたとき、上部の砂は砂層中に空気が入らないうようにするため淡水で徐々に飽和せながら填充してゆき、DE上を一定水頭に保つて一定水頭の溝内への浸透を観測した。数種の断面について定常状態での流量  $Q$  と水頭差  $AH$  を実測し、(25)式を用いて並算された透水係数  $K = (\epsilon L/AH)/(k(k)/K(k))$  の値はほぼ一定値(実験に用いた相馬砂に対して  $K = 0.35 \text{ cm/sec}$ )がえられ、また淡塩境界の曲線も理論と実験とがよく一致することから、理論が妥当であることがわかる。図-7にはこれらの実験のうちの一例を示している。

4. まとめ 実験および計算の結果から根入長  $S=0$  の場合について次のようなことがえる。

1).  $\epsilon H_w/AH$  および  $\epsilon L/AH$  を与えると  $\epsilon S/AH$  が決まり、これは効果的には取水溝幅  $2L$  を決める上に一つの指標となる。

2).  $\epsilon L/AH$  および  $\epsilon L/AH$  は  $\epsilon L/AH$  を一定にすると  $\epsilon H_w/AH$  が大きくなる。また  $\epsilon H_w/AH$  を一定にすると  $\epsilon L/AH$  が小さくなるでは  $\epsilon L/AH$  が大きくなるほど急激に大きくなるが  $\epsilon L/AH$  がほぼ 1.0 をこえるとからほとんど増加しなくなる。

末筆ながら本研究に御指導いただいた九州工業大学教授橋東一郎博士、ならびに実験および数値計算に御協力いただいた九州産業大学土木教室有吉孝一君に感謝致します。なお本研究は昭和41年度九州産業大学特別研究費の援助のもとに行つたもの的一部分であることを付記し謝意を表します。

図-6. 数値計算の結果

根入長  $S=0$  の場合

図中記載の数字は  $\epsilon S/AH$  の値

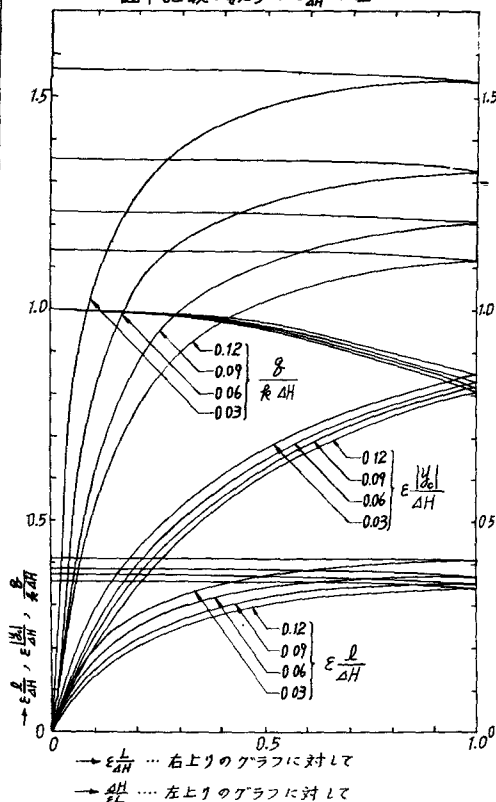
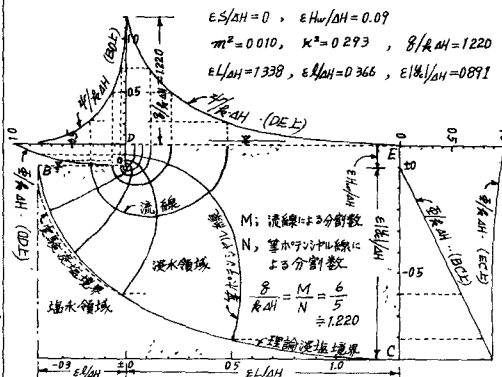


図-7. 実験および数値計算の例



#### 参考文献

- 1) 上田・崎山; 淡水飽和地盤における淡水注入溝の浸透 土木学会論文集 第135号 昭和41年11月
- 2) 林桂一; 高等函数表; 岩波書店 昭和16年